

板とBeam系の合成構造の立体解析法ならびに、板と格子桁の 合成による橋梁解析法の應用

大阪工業大学 正員 岡村宏一

1. 概要 本文は2次元弾性理論、板ならびにはりの曲げ理論を併用して、板とBeam系の合成構造を広範に取扱う立体解析法について述べたものである。構造物を立体的に考察すると、板とBeam系の合成により構成されるものが数多く見受けられ、この方法は立体構造の解析に多くの応用面を見出すことが出来る。1例を合成析橋に採れば、従来の床板の有効巾を仮定する格子桁計算法、又は、巨視的に異方性板にModel化する平板解法、或いは板とBeamの非合成接触による解法等と異なり、種々の合成方式のもとに、構造各部の曲げならびにScheibe actionによる応力が任意の載荷状態に対してより合理的に詳細に評価される。他の例をラーメン式高架橋に採れば有効巾を定義する既往の解法と異なり床板と立体ラーメンの完全合成構造として解析することが出来る。このような立体解析を便利に行うために本文で提示した解法に於て考慮した諸点の大要を列舉すれば次の通りである。

(1) Beam系と合成する板の基礎方程式： 板の解式を支配する基礎方程式として従来多くの平板問題に慣用されている鉛直外力に対する平衡方程式を用いるのが不便である事が考えられる。何故ならBeamとの偏心合成条件を板の境界条件として処理することになるためで、複雑な立体構造に於ては板を多くの構造要素に分割する必要を生じ解法が面倒にならざるを得ない。既往のこの部類の問題に対する若干の研究が幾つかの問題を抱っているのもこの様な点があると考えられる。以上の見地から、板の上下面の任意位置に任意分布垂直力ならびに任意分布水平せん断力を受ける場合の基礎式に支配される板の解式を用いることが立体解析を容易にすると考えられる。筆者は本文の始めにこのような場合の板の曲げならびにScheibe actionを支配する基礎方程式を誘導してその解を求めた。

(2) 板の解式のClosed Formとの変換： 前述のようにして求められる板の解式はOpen Formとなる。一方、板に合成されるBeam系(静定系、不静定系、或いはPreStressされるもの)の基本系の解式の殆どものはClosed Formに求められる。板とBeam系の合成条件を与えるには厳密にはBeam系の解式を展開すればよいが立体解析を複雑にして実用的でない。従つて板の解式を充分な精度を保つ範囲内でClosed Formに変換する必要がある。本文に示す解法ではこのために先づBeam系から板に伝達される鉛直方向ならびに水平方向不静定力の分布を細かく分割された矩形分布の集合形に仮定して有限個の不静定力の作用する系に置換する。更に板とBeam系の合成条件は細分された不静定力の夫々の作用中心に採った選択に於て成立させる。この場合、各区分不静定力の係数は級数形であるが総和公式を併用して電子計算機の内部で、個別に充份収束するまで計算される。かくして板とBeam系の合成条件は、Closed Formに与えられ解析は著しく容易となる。

(3) 種々の合成条件(完全合成、部分合成、断續合成)との適用： 前述のようにBeamと板の合成面に作用する不静定水平せん断力の分布を細分した矩形分布の集合形に置き換えたから、非合成区間のブロックを抹消し合成条件により適宜組合せて表記の各合成条件を簡単に表示出来る。

以下、理論の詳細を述べ、床板と格子桁を合成させる合成構造の解法を应用例に採つて説明する。

2. Beam系と合成する板の基礎方程式とその解の誘導

2-1 基礎方程式： 図-1に示す厚さ h の板の微小エレメントの上面に作用する鉛直力、ならびに x, y 各方向の水平せん断力を g_o, g_u, S_{ox}, S_{uy} とし全様に下面に作用するそれらを g_u, S_{ux}, S_{uy} とすれば、図-1(a)に示される曲げ、ならびに図-1(b)に示される Scheibe Action の釣合いから

$$\frac{\partial Q_x}{\partial x} + \frac{\partial Q_y}{\partial y} = -g_o + g_u \quad (1)$$

$$Q_x - \frac{\partial M_{xy}}{\partial x} - \frac{\partial M_{yx}}{\partial y} + \frac{h}{2} (S_{ox} + S_{ux}) = 0 \quad (2)$$

$$Q_y - \frac{\partial M_{xy}}{\partial y} + \frac{\partial M_{yx}}{\partial x} + \frac{h}{2} (S_{oy} + S_{uy}) = 0 \quad (3)$$

$$h \left(\frac{\partial \sigma_x}{\partial x} + \frac{\partial \tau_{xy}}{\partial y} \right) = S_{ux} - S_{ox} \quad (4), \quad h \left(\frac{\partial \sigma_y}{\partial y} + \frac{\partial \tau_{xy}}{\partial x} \right) = S_{uy} - S_{oy} \quad (5)$$

(1),(2),(3)の各式、及び、(4),(5)の各式から次の2式を得る。

$$\frac{\partial^2 M_x}{\partial x^2} - 2 \frac{\partial^2 M_{xy}}{\partial x \partial y} + \frac{\partial^2 M_y}{\partial y^2} - \frac{h}{2} \left(\frac{\partial S_{ox}}{\partial x} + \frac{\partial S_{ux}}{\partial x} + \frac{\partial S_{oy}}{\partial y} + \frac{\partial S_{uy}}{\partial y} \right) = -g_o + g_u \quad (6)$$

$$h \left(\frac{\partial^2 \sigma_x}{\partial x^2} + \frac{\partial^2 \sigma_y}{\partial y^2} + 2 \frac{\partial^2 \tau_{xy}}{\partial x \partial y} \right) = \frac{\partial S_{ux}}{\partial x} - \frac{\partial S_{ox}}{\partial x} + \frac{\partial S_{uy}}{\partial y} - \frac{\partial S_{oy}}{\partial y} \quad (7)$$

曲げに關して、たわみ関数、 $W(x, y)$ 、Scheibe Action に關して応力関数、 $\Phi(x, y)$ を導入し Scheibe Stress は次のように定義する。

$$\sigma_x = \frac{\partial^2 \Phi}{\partial y^2} + \frac{1}{h} \left[\int S_{ux} dx - \int S_{ox} dx \right] + C \quad (8), \quad \sigma_y = \frac{\partial^2 \Phi}{\partial x^2} + \frac{1}{h} \left[\int S_{uy} dy - \int S_{oy} dy \right] + C' \quad (9), \quad \tau_{xy} = -\frac{\partial^2 \Phi}{\partial x \partial y} \quad (10)$$

(8),(9)式中、 $\frac{1}{h} \left[\int S_{ux} dx - \int S_{ox} dx \right] + C$ 、 $\frac{1}{h} \left[\int S_{uy} dy - \int S_{oy} dy \right] + C'$ は Beam との合成面において、Beam に伝達される軸力を示し C, C' はその末端条件から定まる。更に Scheibe Action に關して各々 Component $\sigma_x, \sigma_y, \tau_{xy}$ 相互の関係ならびに応力と歪との関係から次式が得られる。

$$\frac{\partial^2}{\partial y^2} (\sigma_x - \nu \sigma_y) + \frac{\partial^2}{\partial x^2} (\sigma_y - \nu \sigma_x) = 2(1+\nu) \frac{\partial^2 \tau_{xy}}{\partial x \partial y} \quad (11) \quad \text{たゞし, } \nu: \text{ポアソン比}$$

(7), (11)の各式から τ_{xy} の項を消去し、更に (8),(9) を用いて Scheibe Action に対する基礎方程式を得る。又、モーメントとたわみの関係を (6) に代入して曲げに対する基礎方程式を得る。すなわち

$$\Delta \Delta W = \frac{1}{D} \left[g_o - g_u - \frac{h}{2} \left\{ \frac{\partial}{\partial x} (S_{ox} + S_{ux}) + \frac{\partial}{\partial y} (S_{oy} + S_{uy}) \right\} \right] \quad (12) \quad D = \frac{E h^3}{12(1-\nu^2)}$$

$$h \Delta \Delta \Phi = \nu \left\{ \frac{\partial}{\partial x} (S_{ux} - S_{ox}) + \frac{\partial}{\partial y} (S_{uy} - S_{oy}) \right\} - \frac{\partial^2}{\partial x^2} \left(\int S_{ux} dx - \int S_{ox} dx \right) - \frac{\partial^2}{\partial y^2} \left(\int S_{uy} dy - \int S_{oy} dy \right) \quad (13)$$

以上、(12)(13)を連成して概要に述べた様に Beam 系と板の合成構造の立體解析を便利に行う事が出来る。

2-2 基礎方程式の解： (12),(13) 式中の外力、たわみ関数、応力関数を次のよう展開する。

$$g_o = \sum_m \sum_n L_{mn} \sin \alpha_m x \sin \beta_n y \quad (14) \quad g_u = \sum_m \sum_n L_{mn} \sin \alpha_m x \sin \beta_n y \quad (15) \quad S_{ox} = \sum_m \sum_n T_{mn} \cos \alpha_m x \sin \beta_n y \quad (16)$$

$$S_{ux} = \sum_m \sum_n T_{mn} \cos \alpha_m x \sin \beta_n y \quad (17) \quad S_{oy} = \sum_m \sum_n T'_{mn} \sin \alpha_m x \cos \beta_n y \quad (18) \quad S_{uy} = \sum_m \sum_n T'_{mn} \sin \alpha_m x \cos \beta_n y \quad (19)$$

$$W = \sum_m \sum_n W_{mn} \sin \alpha_m x \sin \beta_n y \quad (20) \quad \Phi = \sum_m \sum_n \Phi_{mn} \sin \alpha_m x \sin \beta_n y \quad (21) \quad \text{たゞし, } \alpha_m = \frac{m\pi}{a}, \beta_n = \frac{n\pi}{b}$$

a, b : 板の x, y 各方向の辺長。式(14)~(21)を (12)(13) に代入して基礎方程式の特解を得る。

$$W_p = \sum_m \sum_n \frac{1}{(\alpha_m^2 + \beta_n^2)^2} \left[L_{mn} - L_{mn} + \frac{h}{2} \left\{ \alpha_m (T_{mn} + T'_{mn}) + \beta_n (T'_{mn} - T_{mn}) \right\} \right] \sin \alpha_m x \sin \beta_n y \quad (22)$$

$$\Phi_p = \sum_m \sum_n \frac{1}{h(\alpha_m^2 + \beta_n^2)^2} \left\{ \alpha_m \left(\frac{\beta_n^2}{\alpha_m^2} - \nu \right) (T_{mn} - T'_{mn}) + \beta_n \left(\frac{\alpha_m^2}{\beta_n^2} - \nu \right) (T'_{mn} - T_{mn}) \right\} \sin \alpha_m x \sin \beta_n y \quad (23)$$

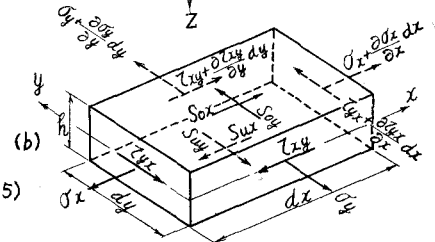
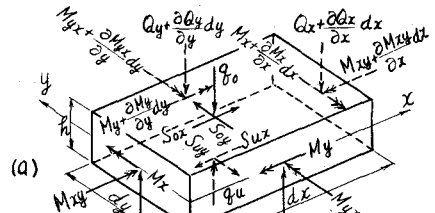


図-1

今、(22)(23)で求めた特解を用いて図-2に示すような合成構に適用出来る解の一般形を求める。この種の構梁の両端($x=0, x=a$)は床板を含めて單純支持辺と見做されるものとし、又、床板張出部の端辺($y=0, y=b$)は自由辺、床板の周面は開放面であるとする。以上の条件から特解に補足解を加えて得られる解の一般形は

$$w = w_p + \frac{1}{D_m} \sum (A_m \sinh \alpha_m y + B_m \cosh \alpha_m y + C_m \alpha_m y \sinh \alpha_m y + D_m \alpha_m y \cosh \alpha_m y) \sin \alpha_m x \quad (24)$$

$$\phi = \Phi_p + \sum_m (A_m \sinh \alpha_m y + B_m \cosh \alpha_m y + C_m \alpha_m y \sinh \alpha_m y + D_m \alpha_m y \cosh \alpha_m y) \sin \alpha_m x$$

$$+ \sum_n (A'_n \sinh \beta_n x + B'_n \cosh \beta_n x + C'_n \beta_n x \sinh \beta_n x + D'_n \beta_n x \cosh \beta_n x) \sin \beta_n y \quad (25)$$

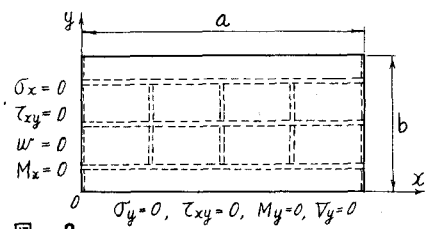


図-2

床板の周面の解放条件の1つ $\tau_{xy} = 0$ を満足させるためには(25)の補足解に含まれる Non-Circular Function を更に級数展開して周辺の任意度で成立する条件式である無限連立方程式を収束する範囲内で解く必要を生ずる。例えば $y=0, x=0$ の各辺に於けるこれらの式を示すと、

$$\alpha_m^2 (A_m + D_m) + \sum_n \beta_n^2 G'_{mn} (A'_n B'_n C'_n D'_n) = -\frac{1}{h} \sum_m U_{mn} \quad (26) \quad \sum_m \alpha_m^2 G_{mn} (A_m B_m C_m D_m) + \beta_n^2 (A'_n C'_n) = -\frac{1}{h} \sum_m U_{mn} \quad (27)$$

$$\text{ただし } U_{mn} = \frac{\alpha_m \beta_n}{(\alpha_m^2 + \beta_n^2)^2} \left\{ \alpha_m \left(\frac{\beta_n^2}{\alpha_m^2} - 1 \right) (T_{mn} - T_{0mn}) + \beta_n \left(\frac{\alpha_m^2}{\beta_n^2} - 1 \right) (T'_{mn} - T'_{0mn}) \right\} \quad (28)$$

$$G'_{mn} = \frac{2}{a} \frac{\beta_n}{\alpha_m^2 + \beta_n^2} [A'_n (-1)^m \sinh Y_n + (-1)^m \cosh Y_n - 1] B'_n + (-1)^m Y_n \sinh Y_n + (-1)^m \cosh Y_n - 1 \frac{2\alpha_m^2}{\alpha_m^2 + \beta_n^2} + (-1)^m (Y_n \cosh Y_n + \sinh Y_n) \frac{2\alpha_m^2}{\alpha_m^2 + \beta_n^2} D'_n \quad (29)$$

$$Y_n = \frac{n\pi}{\lambda}, \lambda = \frac{b}{a}, G_{mn} \text{ と } G'_{mn} \text{ を } a, b, m, n \text{ を入れ換えて全様に求められる。}$$

一方、(25)式の補足解のうち、 $\sinh \beta_n y$ の展開項を無視すれば (26)(27)式で示されるような連立方程式を解く事は不要になり解法は簡易化される。たゞしこの場合單純支持辺($x=0, x=a$)に於ける $\tau = 0$ の条件を満さず不完全解となる。しかしながら、線形合成の單一板に関する G. Allen の研究によれば、單純支持辺の条件として図-2に示す境界条件の代りに ($\tau_x = 0, \sigma_y = 0, \tau_{xy} \neq 0$) の解を使用してもその誤差は実用上無視出来ることが指摘されている。本文では以下このような見地からの実用解を用いる。

3. 板の解式の Closed Form への変換： 図-3 に示すように板と Beam の間に受け渡しされる垂直なラジに水平各方向の不静定力 g_{ux}, S_{ux}

の分布を図-5 に示すような細分割

された区间に等分布する力 P_i, t_i

の集合に置換する。図-4 を参照

して任意の主軸 r 、横断 S のそれ

ぞれが床板と合成する部分に接つ

た分割区間 i, j に作用する強度 $P_{ri}, P_{sj}, t_{ri}, t_{sj}$

の不静定力によるたわみ、ならびに施力関数は補足

解に対称性を考慮して次のように与えられる。

$$W_{rsij} = \frac{16}{\pi^2 D_m} \sum_m \sum_n \frac{1}{mn(\alpha_m^2 + \beta_n^2)^2} \left\{ (P_{ri} \sinh \alpha_m x_i + \frac{\alpha_m p_i}{2} t_{ri} \cosh \alpha_m x_i) \right. \\ \times \sinh \alpha_m y_i \sin \beta_n y_i \sin \beta_n dr + (P_{sj} \sin \beta_n y_j + \frac{\beta_n p_j}{2} t_{sj} \cos \beta_n y_j) \\ \times \sin \beta_n C_j \sinh \alpha_m y_i \sin \alpha_m ds \} \sinh \alpha_m x \sin \beta_n y \\ + \frac{1}{D_m} \left\{ (\sinh \alpha_m y_i - \frac{\alpha_m}{2} \cosh \alpha_m y_i) \bar{A}_m + (\alpha_m \sinh \alpha_m y_i - \bar{A}_m \alpha_m y_i \cosh \alpha_m y_i) \right. \\ \left. - \bar{A}_m \cosh \alpha_m y_i \right\} \bar{C}_m \sinh \alpha_m x \quad (30)$$

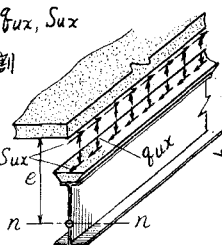


図-3

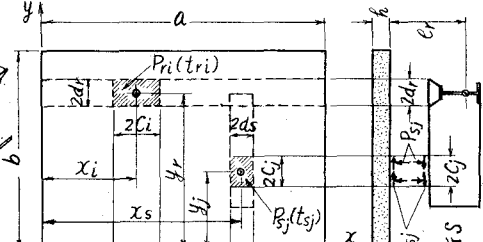


図-4

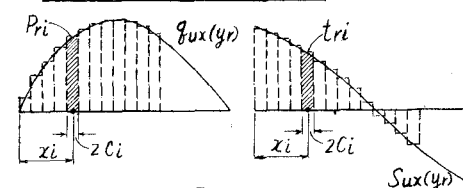


図-5

$$\phi_{rsij} = \frac{16}{8\pi^2} \sum_m \sum_n \frac{1}{mn(\beta_m^2 + \beta_n^2)^2} \left\{ \alpha_m \left(\frac{\beta_n^2 - \nu}{\beta_m^2} \right) \text{tr}_i \cos \alpha_i \sin \alpha_i \sin \beta_n y_r \sin \beta_n d_r + \beta_m \left(\frac{\beta_n^2 - \nu}{\beta_m^2} \right) t_{sj}' \sin \alpha_i \cos \alpha_i \sin \beta_n y_s \sin \beta_n d_s \right\} \\ \times \sin \alpha_i \sin \beta_n y_r + \sum_m \left\{ (\sinh \alpha_i y_r - 1/m \cosh \alpha_i y_r) A_m + (\alpha_m y_r \sinh \alpha_i y_r - \Delta_m \alpha_i y_r \cosh \alpha_i y_r - 1/m \cosh \alpha_i y_r) C_m \right\} \sin \alpha_i \chi \quad (31)$$

(30)(31)面式の補足解は計算の便宜上、対称性により右表のようになに分類される。たゞし、表中 δ_m, E_m, ζ_m は $\delta_m = \coth \lambda_m \pi + \operatorname{coth} \lambda_m \pi, E_m = \coth \lambda_m \pi - \operatorname{coth} \lambda_m \pi, \zeta_m = \lambda_m \pi \operatorname{coth} \lambda_m \pi$ — (32)

(30)(31)の各式を主析、横析ならびに各析の合成面の不静定力のブロックについて總和し、更に作用荷重によるたわみ W_L を加えて

$$W = \sum_{R=1}^{R'} \sum_{S=1}^{S'} \sum_{N=1}^{N'} W_{rsij} + W_L \quad (33) \quad \phi = \sum_{R=1}^{R'} \sum_{S=1}^{S'} \sum_{N=1}^{N'} \phi_{rsij} \quad (34)$$

たゞし、 R, R' = 主析、横析の本数、 N, N' = 各析上での不静定力の分割数。

次に、板の x, y 各方向の E_x, E_y は、 $E_x = \frac{1}{E} (\partial_x - \nu \partial_y) - \frac{\nu}{2} \frac{\partial^2 w}{\partial x^2}$ — (35) $E_y = \frac{1}{E} (\partial_y - \nu \partial_x) - \frac{\nu}{2} \frac{\partial^2 w}{\partial y^2}$ — (36)

床板自由辺の境界条件：対称条件を用いて $\bar{\sigma}_y(y=0) = 0$ — (37) $\bar{\tau}_{xy}(y=0) = 0$ — (38)

$$M_y(y=0) = -D \left(\frac{\partial^2 w}{\partial y^2} + \nu \frac{\partial^2 w}{\partial x^2} \right)_{y=0} = 0 \quad (39) \quad V_y(y=0) = -D \left\{ \frac{\partial^2 w}{\partial y^2} + (2-\nu) \frac{\partial^2 w}{\partial x^2 \partial y} \right\}_{y=0} - \frac{\nu}{2} S_{xy}(y=0) \quad (40)$$

式(8)(9)(たゞしこの場合 $S_{ox} = S_{oy} = C = C' = 0$)、(33)(34)を(35)～(40)に代入して解き、各不静定力の作用中に採った選卓(x_u, y_v)に於ける板のたわみ、ならびに下面の歪の式を求めると次のようになる。

$$W(x_u, y_v) = \frac{16}{\pi^2 D} \sum_{R} \sum_{S} \sum_{m, n} \left[U_{mn}(y_v) \times \gamma_{mn}(q, P_{ri}, P_{sj}, t_{ri}, t_{sj}) - \gamma_{mn}(t_{sj}) E_m(y_v) \right] \sin \alpha_m x_u \quad (41)$$

$$E_x(x_u, y_v) = -\frac{16}{\pi^2 E} \sum_{R} \sum_{S} \sum_{m, n} \left[Z_{mn}(y_v) x_u U_{mn}(t_{ri}, t_{sj}) - \frac{\nu}{n} (1-\nu^2) \alpha_m^2 \left\{ U_{mn}(y_v) \times \gamma_{mn}(q, P_{ri}, P_{sj}, t_{ri}, t_{sj}) - \gamma_{mn}(t_{sj}) E_m(y_v) \right\} \right. \\ \left. - \frac{1}{\pi} P_{mn}(t_{ri}, t_{sj}) \sin \beta_n y_v \right] \sin \alpha_m x_u \quad (42) \quad (\sum_R, \sum_S : \text{主析、横析についての総和を示す})$$

$E_y(x_u, y_v)$ も同様に求められるが、こゝでは省略する。又、上式中の各表示は

$$U_{mn}(y_v) = \sin \beta_n y_v + \frac{\beta_n^2 \beta_m^2 + (2-\nu) \alpha_m^2}{\alpha_m^2 \beta_m^2} E_m(y_v) \quad (43), \quad Z_{mn}(y_v) = (\beta_n^2 - \alpha_m^2) \sin \beta_n y_v - (1+\nu) \frac{\alpha_m \beta_m}{K_m} F_m(y_v) \quad (44)$$

$$\gamma_{mn}(q, P_{ri}, P_{sj}, t_{ri}, t_{sj}) = \frac{1}{mn(\alpha_m^2 + \beta_m^2)^2} \left\{ q_{mn} + (P_{ri} \sin \alpha_m x_i + \frac{\nu}{2} t_{ri} \alpha_m \cos \alpha_m x_i) \sin \alpha_i \sin \beta_n y_r \sin \beta_n d_r + (P_{sj} \sin \beta_n y_s + \frac{\nu}{2} t_{sj} \beta_n \cos \beta_n y_s) \right. \\ \left. \times \sin \beta_n y_r \sin \alpha_m x_s \sin \alpha_m d_s \right\} \quad (45)$$

$$U_{mn}(t_{ri}, t_{sj}) = \frac{1}{mn(\alpha_m^2 + \beta_m^2)^2} \left\{ \alpha_m \left(\frac{\beta_n^2 - \nu}{\beta_m^2} \right) \text{tr}_i \cos \alpha_i \sin \alpha_i \sin \beta_n y_r \sin \beta_n d_r + \beta_m \left(\frac{\beta_n^2 - \nu}{\beta_m^2} \right) t_{sj}' \sin \alpha_i \cos \alpha_i \sin \beta_n y_s \sin \beta_n d_s \right\} \quad (46)$$

$$F_{mn} = \frac{\pi t_{ri} t_{sj}}{32 m n \alpha_m^2 \beta_m^2} \sin \alpha_i x_s \sin \alpha_i d_s \cos \beta_n y_s \sin \beta_n y_r \sin \beta_n d_r \quad (47), \quad P_{mn}(t_{ri}, t_{sj}) = \frac{1}{m n} (at_{ri} \frac{1}{m} \cos \alpha_i x_i \sin \alpha_i d_i \sin \beta_n y_r \sin \beta_n d_r$$

$$- \nu t_{sj} \frac{1}{n} \sin \alpha_i x_s \sin \alpha_i d_s \cos \beta_n y_s \sin \beta_n y_r) \quad (48), \quad E_m(y_v) = \left(\frac{1}{m} \sinh \alpha_i y_v - \operatorname{coth} \alpha_i y_v \right) \left(\frac{2}{1-\nu} - 1/m \right) + \alpha_i y_v \sinh \alpha_i y_v$$

$$- \Delta_{md} \alpha_i y_v \cosh \alpha_i y_v - 1/m \cosh \alpha_i y_v \quad (49), \quad F_m(y_v) = E_m(y_v) + \frac{2}{1-\nu^2} \left[2 \cosh \alpha_i y_v - \left\{ (1-\nu) \Delta_m + \frac{1+\nu}{1-m} \right\} \sinh \alpha_i y_v \right] \quad (50)$$

$$\alpha_m = \frac{2}{l_m} + (1-\nu) \left(\Delta_m - \frac{1}{l_m} \right) \quad (51), \quad K_m = \frac{\Delta_m}{l_m} + \Delta_m \quad (52) \quad \gamma_{mn} : \text{任意外荷重(強度 } q \text{)の展開係数}$$

(41)(42)式に於ける不静定力の係数である総数は総和公式を併用して個別に収束する迄計算される。

4. 合成條件式：図-3, 4 に示すように分布不静定力($P_{ri}, P_{sj}, t_{ri}, t_{sj}$)の集合、格子格架荷重等を受ける析の選卓のたわみ W 、縁歪 $\bar{\epsilon}$ は代数関数で容易に求まる。(妻断面ばり、連續ばりの場合も全様)。これについては問題はないので議論を省略する。(41)(42)を用いて合成面の選卓で成立つ合成條件式は

$$W(x_u, y_v) \text{(床板)} = \bar{W}(x_u) \text{(主析)} \quad (53) \quad W(x_u, y_v) \text{(床板)} = \bar{W}(y_v) \text{(横析)} \quad (54)$$

$$E_x(x_u, y_v) \text{(床板下面)} = \bar{\epsilon}(x_u) \text{(主析上縁)} \quad (55) \quad E_y(x_u, y_v) \text{(床板下面)} = \bar{\epsilon}(y_v) \text{(横析上縁)} \quad (56)$$

式(53)～(56)を用いて Beam の解を代数式のまゝ用いて不静定力が求まり立体解析を著しく容易にする。

5. 種々の合成條件との適用：本解法によれば不静定力を次表のようになに選択することによって、

種々の合成條件に容易に適用することができます。たゞし、表中

X: 格子格のみの不静定力。

合成條件	不静定力	合成條件	不静定力	合成條件	不静定力
格子格合成	P_{ri}, P_{sj} X t_{ri}, t_{sj}	主析合成	P_{ri} X	地盤高欄合	$S_{ox} \neq 0$
横析非合成	t_{ri}	横析非構成	t_{ri}	合	
主析合成	P_{ri}, P_{sj} X	主析部分合成	P_{ri} X	地盤高欄	$S_{oy} \neq 0$
横析非合成	t_{ri}	主析部分合成	$t_{ri} (-\text{部} O)$	非合成	P_{ri}, P_{sj}, X